

dimension をもつ任意量) とし、 ω が式 (2) の齊次方程式を満足する次の 4 次式で表わされるものとする。すなわち

$$\omega = A_1 + A_2\xi + A_3\eta + A_4\xi^2 + A_5\xi\eta + A_6\eta^2 + A_7\xi^3 + A_8\xi^2\eta + A_9\xi\eta^2 + A_{10}\eta^3 + A_{11}(\xi^2\eta + 2\xi\eta^2) + A_{12}(\xi\eta^2 + 2\xi^2\eta^2) \quad (4)$$

$$\text{ただし } \nu_1 = \frac{3J_0}{7+2J_0^2} \frac{a}{b}, \quad \nu_2 = \frac{3J_0}{7+2J_0^2} \frac{a}{b}$$

$A_1, A_2, A_3, \dots, A_{12}$ は無次元係数

次に、前節のモーメント M_x, M_y に対応するたわみ角を $\theta = -\frac{\partial\omega}{\partial y}, \varphi = \frac{\partial\omega}{\partial x}$ で定義すれば、これらは上記の無次元諸量で次のごとく表わされる。

$$\theta = -\mu \frac{\partial\omega}{\partial\eta} = -\mu \{ A_3 + A_5\xi + 2A_6\eta + A_8\xi^2 + 2A_9\xi\eta + 3A_{10}\eta^2 + A_{11}(\xi^2 + 2\nu_2\xi\eta) + A_{12}(3\xi\eta^2 + 2\nu_2\xi^2\eta) \} \quad (5)$$

$$\varphi = \lambda \frac{\partial\omega}{\partial\xi} = \lambda \{ A_2 + 2A_4\xi + A_5\eta + 3A_7\xi^2 + 2A_8\xi\eta + A_9\eta^2 + A_{11}(3\xi^2 + 2\nu_1\xi\eta) + A_{12}(\eta^2 + 2\nu_1\xi\eta^2) \}$$

$$\text{こゝに } \lambda = l/a, \quad \mu = l/b$$

いま element A の任意の隅角部 (node) i 点 ($i=1, 2, 3, 4$) の変形成分を 3 次の列ベクトル

$$u_i = \{ \theta \quad \varphi \quad \omega \} \quad (6)$$

で表わし、element A の 4 個の node の変形成分を 12 次の列ベクトル

$$U^A = \{ u_1 \quad u_2 \quad u_3 \quad u_4 \} \quad (7)$$

で表わせば、式 (4), (5) の ξ, η に各 node の座標 (ξ_i, η_i) を代入することにより次式をうる。

$$U^A = CA \quad (8)$$

$$\text{または } A = C^{-1}U^A \quad (9)$$

こゝに C は (12×12) 行列、 A は式 (4) の 12 個の係数の列ベクトルである。

他方、式 (6) の変形成分に対応する node i 点の外力を、モーメント M_θ, M_φ および z 軸方向の力 P により、3 次の列ベクトル

$$F_i = \{ M_\theta \quad M_\varphi \quad Pl \} \quad (10)$$

で表わし、element A の全体についても、式 (7) と同じく 12 次の列ベクトル

$$F^A = \{ F_1 \quad F_2 \quad F_3 \quad F_4 \} \quad (11)$$

にて表わせば、 (12×12) の Stiffness Matrix K^A を媒介にして一般に次式が成立する。

$$F^A = K^A U^A \quad (12)$$

さて、式 (3) より与えられる任意点のモーメントを行列表示すれば次式をうる。

$$M = D G \gamma \quad (13)$$

こゝに $M = \{ M_x \quad M_y \quad M_{xy} \}$ は 3 次の列ベクトルであり、 G は (3×3) 行列で次の内容をもつ。

$$G = \frac{1}{C^2} \begin{bmatrix} 1 & (S^2 + \nu C^2) & S \\ (S^2 + \nu C^2) & 1 & S \\ S & S & \frac{1}{2}(1 + S^2 - \nu C^2) \end{bmatrix} \quad (14)$$

また 3 次の列ベクトル $\gamma = \left\{ -\frac{\partial^2\omega}{\partial x^2}, -\frac{\partial^2\omega}{\partial y^2}, 2\frac{\partial^2\omega}{\partial x\partial y} \right\}$ は式 (4) より、次式のごとく行列表示される。

$$\gamma = \frac{2l}{a^2} BA = \frac{2l}{a^2} BC^{-1}U^A \quad (15)$$

$$\text{こゝに } B = \begin{bmatrix} 0 & 0 & 0 & -p & 0 & 0 & -3p\xi & -p\eta & 0 & 0 & -p(3\xi\eta + 2\nu_2\eta^2) & -p\nu_2\eta^2 \\ 0 & 0 & 0 & 0 & 0 & -p' & 0 & 0 & -p'\xi & -3p'\eta & -p'(3\xi\eta + 2\nu_1\xi^2) & -p'(3\xi\eta + 2\nu_1\xi^2) \\ 0 & 0 & 0 & 0 & 1 & 0 & 0 & 2\xi & 2\eta & 0 & 3\xi^2 + 4\nu_1\xi\eta & 3\eta^2 + 4\nu_1\xi\eta \end{bmatrix} \quad \text{ただし } p = \frac{a}{b} \quad (16)$$

4. 計算例

斜角 $\varphi = 30^\circ$ で一対辺が単純支持された2スパン一方向連続斜板を 4×8 の element に分割し、式(18)の Stiffness Matrix を用いて、対称集中荷重に対するたわみ曲面を算定した結果を図-4(a)、4(b)、4(c) に示した。図-4(a)のごとき載荷状態の連続矩形板では中間節線上のたわみ角は明らかに0となるが、本例においては斜角の影響により左右逆対称のたわみ角が生じている。

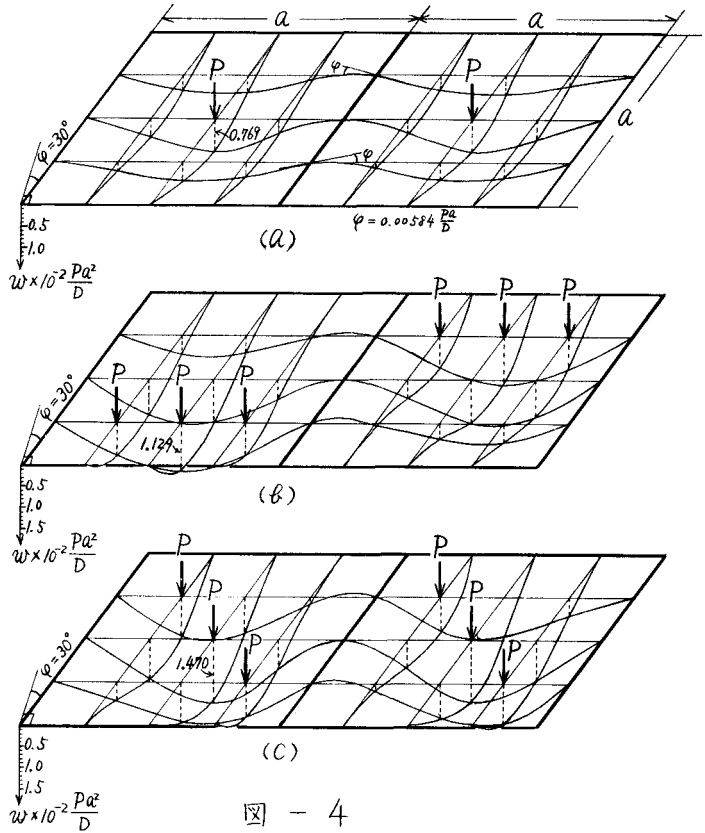


図 - 4

結語

本法による一方向連続斜板の解法骨子は

1. 本文の式(19)の Stiffness Matrix S を迅速に求め、その行列要素の配列をプログラムに組むこと。

2. S の逆行列を算定し、各節点の未知変形成分 U を決定すること。

にあるが、後者については電子計算機の進歩により計算の精度とスピードは著しく高められ、何らの懸念を要しない。また前者についても、本文の式(18)に例示したごとき Stiffness Matrix を、予め任意斜角の element に対して求めておけば、周辺支持条件の如何にかかわらず、 S の行列要素を全く機械的に配列することができる。

他方、element の Stiffness Matrix の誘導過程においては、斜交座標に対して定義された式(3)および式(5)の断面力、たわみ角をそれぞれ用いるだけで、以後は何れも斜交座標としての特別の配慮を必要とせず、直交座標の手法をそのまま踏襲できる点も極めて便利であり、これが本法の特色といえる。

参考文献

- 1) 岡村・吉田・小林：連続斜板の解析。土木学会関西支部年次学術講演会講演概要。昭和41年11月。
- 2) 山崎・彦坂・古川：直交異方性斜板の振動解析。第22回土木学会年次学術講演会講演概要。昭和42年5月。
- 3) L. S. D. Morley: Skew Plates and Structures. Pergamon Press. 1963.
- 4) R. J. Melosh: A Stiffness Matrix for Analysis of Thin Plates in Bending. J. Aero. Sci. vol.28, 1963
- 5) O.C. Zienkiewicz and Y.K. Cheung: The Finite Element Method for Analysis of Elastic Isotropic and Orthotropic Slabs. Proc. Instn. Civ. Engrs. vol 28, August 1964.
- 6) J. H. Argyris: Matrix Displacement Analysis of Plates and Shells. Ingenieur-Archiv. XXXV Band 1966.